

# حل تحلیلی معادله‌ی حرکت جرم و فنر غیرخطی با در نظر گرفتن اثر نیروی باد تحت بار دینامیکی

محمد رضا اشراقی (دانشجوی دکتری)

دانشکده‌ی مهندسی مکانیک، دانشگاه صنعتی شریف

بهمن مهری (استاد)

دانشکده‌ی ریاضی، دانشگاه صنعتی شریف

علی مقداری (استاد)

دانشکده‌ی مهندسی مکانیک، دانشگاه صنعتی شریف

در این نوشتار سعی شده است با استفاده از تابع گرین و تابع تبدیل  $[1-3]$  برای معادله‌ی دیفرانسیل حاکم بر سیستم جرم و فنر غیرخطی با در نظر گرفتن اثرات نیروی باد، یک حل تحلیلی ارائه شود. این معادله در مدل‌سازی انواع سازه‌های فضایی، بال هواپیما و قطعی سازه‌هایی که در ارتفاع بالا به کار می‌روند و بهتر است که قوی‌تر اینها به صورت فنر غیرخطی مدل شود. کاربرد بسیار زیادی دارد، به طوری که جواب معادله مذکور بیان‌کننده‌ی رفتار مکانیکی سیستم واقعی باشد.

## مقدمه

پیشرفت صنایع در علوم مختلف و پیش‌بینی رفتار انواع سیستم‌ها، مخصوصاً در شرایط دینامیکی و بارگذاری‌های مستناوب، دارای اهمیت ویژه‌ای است. از آنجا که در مدل‌سازی، به دست آوردن معادله‌ی ریاضی برای نشان دادن رفتار یک سیستم واقعی ممکن است با چندین فرض ساده شونده انجام شود، لذا بهتر است برای تزدیک شدن جواب معادله‌ی ریاضی سیستم شبیه‌سازی شده به رفتار سیستم واقعی، معادلات با استفاده از روش‌های دقیق حل شوند. اگر چه در هر حال جواب معادلات به دست آمده با رفتار واقعی سیستم تا حدی متفاوت است، لذا باید دقت داشت تا جایی که ممکن است معادلات به دست آمده دارای حل دقیق باشند. به بیان دیگر تا جایی که ممکن است حل تحلیلی معادله را به دست آورد، زیرا روش‌های عددی ذاتاً دارای خطای قابل ملاحظه‌اند و با این کار از ایناشته شدن خطاهای جلوگیری می‌شود.

یکی از روش‌های بسیار کارآمد در حل معادلات دیفرانسیل با ضرایب و عبارات غیرخطی روش حل تحلیلی تابع گرین است. در ضمن روش‌های عددی زمانی مورد استفاده قرار می‌گیرند که حل تحلیلی غیر ممکن و پر زحمت باشد. با استفاده از روش ارائه شده در نوشتار حاضر نشان داده خواهد شد حل تحلیلی معادلات دیفرانسیل غیرخطی نیز دست یافتنی است و در مسائل دقیق استفاده از روش‌های عددی ضروری نیست.

$$\ddot{y} + \alpha y + \beta y^3 + \gamma \dot{y}^2 = \delta \sin(\omega t) \quad (4)$$

بدینه است که حل معادله‌ی فوق چون از مرتبه‌ی دوم است نیاز به دو شرط مرزی دارد. با توجه به مدل‌های واقعی شرایط مرزی معادله‌ی فوق چنان در نظر گرفته شده که مبدأ زمان و مکان بر هم منطبق باشند: در واقع سیستم در لحظه‌ی صفر از نقطه‌ی صفر شروع به حرکت می‌کند ( $y(0) = 0$ ). شرط دوم بهتر است چنان در نظر گرفته شود که از تشدید جلوگیری شود. برای جلوگیری از تشدید می‌بایستی ارتعاشات طبیعی حذف شوند، یعنی هر وقت که نیرو صفر شد تغییر مکان نیز صفر شود، زیرا ارتعاشات طبیعی بدون داشتن نیروی خارجی به وجود می‌آیند. هرگاه در سیستمی نیروی خارجی صفر باشد، و در همان لحظه نیز جابه‌جایی صفر شود (یعنی در صورت عدم وجود نیروی خارجی، جابه‌جایی نیز در سیستم وجود نداشته باشد)، ارتعاشات طبیعی نیز صفر شده و نتیجه‌اً از تشدید جلوگیری خواهد شد. پس شرط دوم به صورت  $= 0$  در نظر گرفته می‌شود. در نهایت معادله‌ی ۴ چنین در نظر گرفته شده و حل می‌شود.

$$\ddot{y} = \delta \sin(\omega^* t) - \alpha y - \beta y^3 - \gamma \dot{y}^2 \quad (5)$$

برای حل تحلیلی معادله، از تابع گرین استفاده می‌شود، بدین صورت که  $\ddot{G}(t) = 0$  در نظر گرفته می‌شود؛ زیرا تابع گرین باید در قسمت خطی معادله دیفرانسیل مطلوب صدق کند. در نتیجه تابع گرین باید به صورت خطی زیر در نظر گرفته شود:

$$G(t) = \begin{cases} at + b & 0 \leq t \leq \frac{\pi}{\omega} \\ ct + d & \frac{\pi}{\omega} \leq t \leq \frac{2\pi}{\omega} \end{cases} \quad (6)$$

برای به دست آوردن ضرایب تابع گرین باید شرایط زیر اعمال شود. تابع گرین باید شرایط مرزی را ارضاء کند و در  $t = \xi$  پیوسته باشد و همچنین مشتق آن در  $t = \xi$  دارای ناپیوستگی و پرس و واحد (یک) باشد.

$$G(0) = 0 \rightarrow a \times 0 + b = 0$$

$$G\left(\frac{\pi}{\omega}\right) = 0 \rightarrow c \times \frac{\pi}{\omega} + d = 0$$

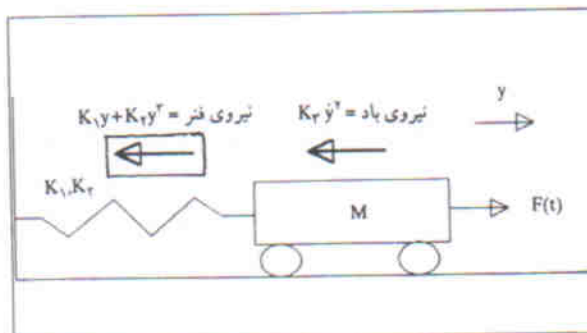
$$a \times \xi + b = c \times \xi + d$$

$$\dot{G}(\xi^+) - \dot{G}(\xi^-) = 1 \rightarrow c - a = 1$$

با حل دستگاه معادلات فوق نتایج زیر به دست می‌آید:

$$a = \frac{\xi \omega}{2\pi} - 1 \quad b = 0 \quad c = \frac{\xi \omega}{2\pi} \quad d = -\xi$$

در نتیجه تابع گرین چنین به دست می‌آید:



شکل ۱. نمای شماتیک جرم، فنر غیرخطی با درنظر گرفتن اثر نیروی باد.

می‌توان با جایگزین ساختن مناسب پارامترها (از نظر علامت) هریک از حالت‌های ذکر شده را در اختیار داشت. نیروی فنر غیرخطی در حالت کلی به صورت

$$F(y) = K_1 y + K_2 y^3$$

در نظر گرفته می‌شود [۱]! اگر  $K_2 > 0$  فنر سخت شونده و اگر  $K_2 < 0$  فنر نرم شونده است. (شکل ۱)

با توجه به قانون نیوتون و نوشتن معادلات تعادل نیروها در جهت  $\ddot{y}$ ، معادله جرم و فنر غیرخطی با درنظر گرفتن اثرات نیروی باد تحت بار خارجی  $F(t)$  چنین است:

$$M\ddot{y} = F(t) - (K_1 y + K_2 y^3) - (K_4 \dot{y}^2) \quad (1)$$

در علوم مختلف مهندسی، برای بررسی پاسخ رفتار مکانیکی یک سیستم، آن را تحت بارهای استاندارد از جمله بار هارمونیک قرار می‌دهند. در معادله‌ی فوق  $F(t)$  به صورت  $\delta \sin(\omega t)$  می‌باشد. در نظر گرفته می‌شود که  $K_4$  دامنه‌ی بارگذاری و  $\omega$  فرکانس بارگذاری است. در این صورت معادله‌ی ۱ را می‌توان به صورت معادله‌ی ۲ بازنویسی کرد.

$$M\ddot{y} + K_1 y + K_2 y^3 + K_4 \dot{y}^2 = K_4 \sin(\omega t) \quad (2)$$

با تقسیم طرفین معادله‌ی ۲ بر جرم  $M$  می‌توان آن را به صورت زیر نوشت:

$$\ddot{y} + \frac{K_1}{M} y + \frac{K_2}{M} y^3 + \frac{K_4}{M} \dot{y}^2 = \frac{K_4}{M} \sin(\omega t) \quad (3)$$

برای راحتی در انجام محاسبات، تغییرات پارامتری به صورت زیر در معادله انجام خواهد شد.

$$\frac{K_1}{M} = \alpha, \quad \frac{K_2}{M} = \beta, \quad \frac{K_4}{M} = \gamma, \quad \frac{K_4}{M} = \delta$$

که پارامترهای  $\alpha, \beta, \gamma, \delta$  به ترتیب  $K_1$  تا  $K_4$  نسبت به واحد جرم هستند. تهیأاً معادله‌ی حرکت جرم و فنر غیرخطی با درنظر گرفتن اثرات نیروی باد تحت بار هارمونیک به صورت معادله‌ی ۴ خواهد بود.

به همین ترتیب می‌توان از رابطه‌ی زنجیره‌ی  $\circ 1$  جواب‌های متعددی به دست آورد. اولین جواب به صورت دلخواه از مجموعه‌ی توابع فضای بanax (رابطه‌ی  $\circ 9$ ). انتخاب شده و از روی جواب اول فرض شده به کمک رابطه‌ی زنجیره‌ی  $\circ 1$  می‌توان سایر جواب‌ها را نیز به دست آورد.

$y_1 = \circ$

$$y_1 = T(y_1) = -\frac{\delta}{\omega} \sin(\omega t)$$

$y_2 = T(y_1) = \dots$

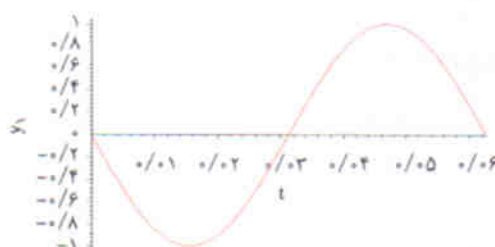
$y_n = T(y_{n-1}) = \dots$

به منظور مقایسه‌ی عددی جواب‌های به دست آمده، به عنوان

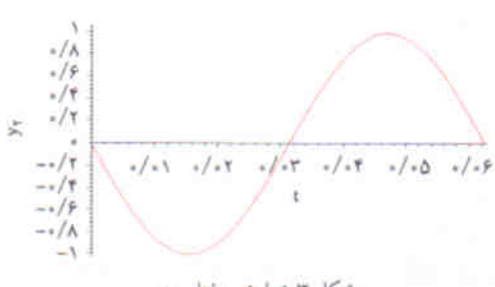
مثال پارامترهای معادله، به صورت زیر در نظر گرفته شده است.

$$\alpha = 1 \quad \beta = 1 \quad \gamma = 2 \quad \lambda = 1 \quad \omega = 1$$

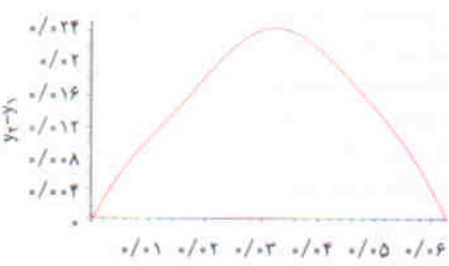
با استفاده از نرم‌افزار Maple جواب‌های  $y_1$  و  $y_2$  پس از محاسبه رسم شده‌اند، که شکل‌های  $\circ 2$  و  $\circ 3$  و  $\circ 4$  به ترتیب نمایش دهنده‌ی رفتار نشان‌دهنده‌ی تفاوت جواب‌های  $y_1$  و  $y_2$  است. شکل  $\circ 4$



شکل  $\circ 2$ . نمایش رفتار  $y_1$ .



شکل  $\circ 3$ . نمایش رفتار  $y_2$ .



شکل  $\circ 4$ . تابع خطای جواب  $y_1 - y_2$ .

$$G(t) = \begin{cases} \left(\frac{\xi\omega}{2\pi} - 1\right)t & 0 \leq \xi \leq \frac{\pi}{\omega} \\ \left(\frac{t\omega}{2\pi} - 1\right)\xi & \frac{\pi}{\omega} \leq \xi \leq \frac{\pi}{\omega} \end{cases} \quad (V)$$

حال با داشتن تابع گرین و معادله‌ی  $\circ 5$  می‌توان تابع تبدیلی رابه صورت رابطه  $\circ 8$  در نظر گرفت:

$$T(y) = \int_0^{\frac{\pi}{\omega}} G(t, \omega) \times [\delta \sin(\omega^* \xi) - \alpha y(\xi) - \beta y^*(\xi) - \gamma y^*(\xi)] d\xi \quad (8)$$

که با استفاده از قضیه‌ی نقطه‌ی ثابت بanax وجود جواب اثبات می‌شود.<sup>[11]</sup> برای این کار ابتدا باید فضای بanax و فاصله‌ی متريک تعريف شوند. فضای بanax را مجموعه‌ی توابع پيوسته در فاصله‌ی  $\frac{2\pi}{\omega}$  در نظر گرفته و فاصله‌ی متريک نيز به صورت زير تعريف می‌شود:

$$B = \left\{ y(t) / y(t) \in C \left[ 0, \frac{\pi}{\omega} \right] \right\}$$

$$d(y_1, y_2) = \text{Sup} |y_1(t) - y_2(t)| + \text{Sup} |\dot{y}_1(t) - \dot{y}_2(t)| \quad (9)$$

برای وجود جواب باید ثابت کرد که فضای بanax تعريف شده به صورت فوق و فاصله تعريف شده در رابطه  $\circ 9$  همراه با تابع تبدیل  $\circ 8$  یک تبدیل اقیاضی است و در نتیجه طبق قضیه‌ی نقطه‌ی ثابت بanax یک جواب به صورت  $y = T(y)$  وجود خواهد داشت و مسئله اثبات شده خواهد بود.<sup>[11]</sup> برای اقیاضی بودن تابع تبدیل کافی است ثابت شود  $d(Ty_1, Ty_2) < a \times d(y_1, y_2)$  که در آن  $a < 1$  است.

$$\begin{aligned} d(Ty_1, Ty_2) &< \frac{\pi}{\omega} \times \left\{ [a_1 + 3M^2 a_2] \times \text{Sup} |y_2 - y_1| \right. \\ &\quad \left. + [a_2 + 2Na_4] \times \text{Sup} |\dot{y}_2 - \dot{y}_1| \right\} < a \times \left[ \text{Sup} |y_2 - y_1| \right. \\ &\quad \left. + \text{Sup} |\dot{y}_2 - \dot{y}_1| \right] d(Ty_1, Ty_2) = \text{Sup} \int_0^{\frac{\pi}{\omega}} |G(t, \xi)| \times \right. \\ &\quad \left. \times |[a_1(y_2 - y_1) + a_2(y_2^* - y_1^*) + a_2(\dot{y}_2 - \dot{y}_1) + a_4(\dot{y}_2^* - \dot{y}_1^*)]| d\xi \right] \end{aligned}$$

$$d\xi \cdot < a < 1 \Rightarrow \sqrt{(\alpha + 3M^2 \beta)^2 + (2\gamma N)^2} < \frac{\omega}{2\pi}$$

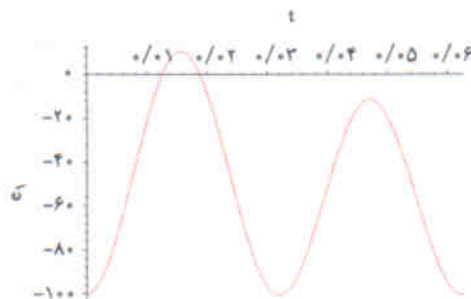
$M$  بزرگ‌ترین مقدار تابع و  $N$  بزرگ‌ترین مقدار مشتق تابع در مجموعه‌ی فضای بanax است. در نهايیت می‌توان رابطه‌ی زنجیره‌ی زير را در نظر گرفت.

$$y_{n+1} = \int_0^{\frac{\pi}{\omega}} G(t, \xi) \times [\delta \sin(\omega^* \xi) - \alpha y_n(\xi) - \beta y_n^*(\xi) - \gamma \dot{y}_n^*(\xi)] d\xi \quad (10)$$

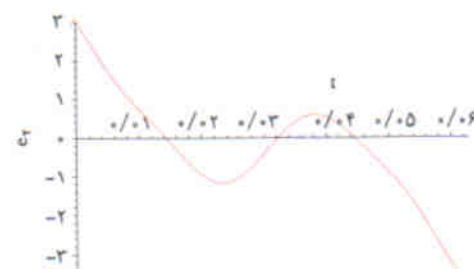
خطای این توابع در بازه‌ی دوره‌ی تناوب  $[w/2\pi, w]$  به ترتیب در شکل‌های ۵ و ۶ مشاهده می‌شود.

### نتیجه‌گیری

شکل‌های ۲ و ۳ نشان می‌دهند که این روش به سرعت همگرا شده و نیازی به تکرار جواب‌های متعدد نیست. با توجه به این که جواب  $y_1$  فقط دارای ضریب ۰ بوده و تابع  $y_2$  بحسب تمامی ضرایب است، رفتار دو تابع یکسان است ولی مقدار دو تابع برابر نیست (این موضوع در شکل ۴ نشان داده شده است). همچنین رفتار تابع خطای برای دو تابع  $y_1$  و  $y_2$  متفاوت است. در ضمن مقدار قدر مطلق تابع خطای با مقایسه شکل‌های ۵ و ۶ به سرعت کم شده و نسبت به حالت قبل به سمت صفر میل می‌کند. منظور از سرعت همگرایی که در بالا ذکر شد، یکسانی رفتار دو تابع جواب  $y_1$  و  $y_2$  در اولین قدم‌های استفاده از معادله زنجیره‌ی است. با مقایسه روش فوق با روش‌های عددی که غالباً همگرا نمی‌شوند - یا به سختی همگرا می‌شوند - کارایی این روش را می‌توان ملاحظه کرد. علاوه بر اینکه جواب‌های به دست آمده از روش فوق قابل اعتمادتر از روش‌های عددی‌اند، تجربه نشان داده است که تعداد تکرارها در به دست آوردن جواب از روش مذکور بسیار کمتر از روش‌های عددی است.



شکل ۵. تابع خطای جواب  $y_1$



شکل ۶. تابع خطای جواب  $y_2$

با تعریف تابع خطای به صورت:

$$e = \delta \sin(\omega^* t) - \ddot{y} - \alpha y - \beta y^3$$

می‌توان تابع خطای را باز از جواب‌های  $y_1$  و  $y_2$  محاسبه کرد. رفتار

### منابع

1. Laser, A.C., on Schauder's fixed point theorem and forced second order nonlinear oscillation, *J. Math. Anal. Appl.* **21**, pp 421-425 (1968).
2. Mehri, B. and Niksrat, M., on the existence of periodic oscillation for vector nonlinear second order system, Proc. of 28th annual Iranian Mathematics conference (1997).
3. Mehri, B. and Niksrat, M., the existence of periodic solution for the nonlinear autonomous ODEs, *Nonlinear Analysis Forum*, **5**, pp 163-171 (2000).
4. Stoker, J.J., nonlinear vibration in mechanical and electrical systems, Interscience Publisher (1950).
5. Bihari, I., on periodic solutions of certain second order ordinary differential equation with periodic coefficients, *Acta Math. Acad. Sci. Hungar.* **12**, pp 11-16 (1961).
6. Bihari, I., periodic solutions of some second order nonlinear differential equations with periodic coefficients, ordinary and partial differential equations, *Lecture Notes in Math.* **1151**, Springer, Berlin, pp 49-59 (1985).
7. Mehri, B. and Niksrat, M., on the existence of periodic solution for the quasi-linear third order ODE, *J. Math. Anal. App.*, **261** (1), pp 159-167 (2001).
8. Cronin, J., fixed point and topological degree in nonlinear analysis, math survey II, American Mathematical Society (1964).